



TÜBİTAK

TÜRKİYE BİLİMSEL VE TEKNİK ARAŞTIRMA KURUMU

VII. BİLİM KONGRESİ
MÜHENDİSLİK ARAŞTIRMA GRUBU
TEBLİĞLERİ
(KİMYA SEKSİYONU)

29 - Eylül 3 - Ekim 1980
Kuşadası - AYDIN

MÜHENDİSLİK ARAŞTIRMA GRUBU

TINKAL KONSANTRESİNDEN BORİK ASİT VE SODYUM HIDROKSİT ÜRETİMİ

Sıdıka Kocakuşak, Nuran Yalaz, Ersan Kalafatoglu,
Bedri Er.ır, Raşit Tolun

TÜBİTAK - MAE Kimya Bölümü, GEBZE

ÖZET

Bu çalışmada, Türkiye'de büyük rezervi olan tinkel mineralinden, sodyum hidroksit ve borik asit üretimi incelenmiştir. Borik asit önemli bir dış satım ürünüdür. Sodyum hidroksit üretimi ise, yetersiz olduğundan dışalımı yapılmaktadır.

Temel verilerin incelenmesi ve gerekli deneysel çalışmaların yapılması ile, amaçlanan üretimi gerçekleştirebilecek özgün bir akım şemasının tasarımı yapılmıştır. En uygun süreç koşulları ve kütle akımları bir bilgisayar programı yardımı ile hesaplanmıştır.

Deneysel çalışmalarında, laboratuvardaki ölçüsünde sürecin yürüyüşü denenmiş ve olumlu sonuçların alındığı görülmüştür.

GENEL BİLGİLER VE ÇALIŞMANIN AMACI

Dünyanın bilinen en zengin bor minerali rezervleri Türkiye'de bulunmaktadır. (1, 2). Toplam 170-200 milyon ton B_2O_3 olarak belirtilen rezervlerin dağılımı % 83 tinkel, % 16 kolemanit, geri kalanı ise diğer bor mineralleridir (1). Eskişehir yakınılarında Kırka'da bulunan tinkel yatağı, dünyanın en büyük tinkel sahasıdır ve burada 140 milyon ton B_2O_3 eşdeğeri tinkel ($Na_2B_4O_7 \cdot 10H_2O$) rezervi saptanmıştır (1).

Bor mineralleri ham maddesinden büyük ölçüde üretimi yapılan borik asit (H_3BO_3), Türkiye'de kolemanit ve sülfürik asit kullanımını ile üretilmektedir. Bu üretimde tinkle göre daha fazla asit gereksinimi olduğu ve yan ürün olan jips'in çevre sorunu yarattığı belirtilmiştir (3). Borik asit üretimi için tinkel kullanıldığında, daha az aside gereksinme olacağı ve borik asit yanında değerli sodyum tuzlarının üretilceği belirtilmiştir. (3, 4).

Bu çalışmanın amacı, tinkel mineralinden hidrojen klorür gazı ile borik asit ve sodyum hidroksit üretiminin incelenmesidir. Bu yöntemde,

borik asit üretimi için süreç dışından herhangibir asit gereksinimi olmayacaktır. Ayrıca, yurdumuzda üretimi yetersiz olan sodyum hidroksit üretilicektir. Çalışmalarımızın başlangıcında bu iki ürün için ön fizibilite çalışmaları yapılmış, üretimin çok karlı olacağı görülmüştür. (5).

TEMEL VERİLER VE AKIM ŞEMASININ TASARIMI

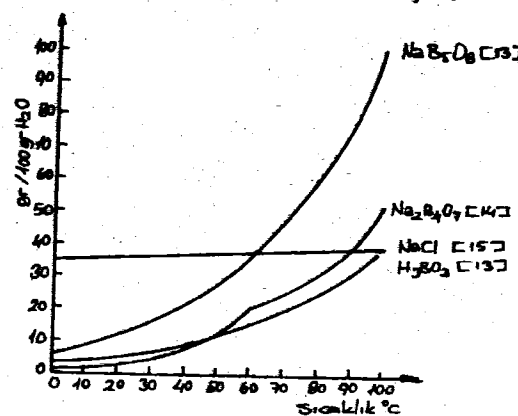
Çeşitli bor minerallerinden hidroklorik asit kullanımı ile borik asit üretimi ile ilgili çalışmalar ve patentler literatürde mevcuttur (6, 7, 8, 9). 1910 yıllarında başlayan hidroklorik asit kullanım zamanla yerini sülfürük aside bırakmıştır (10, 11). Tolun ve arkadaşları hidroklorik asit uygulamasını incelemiştir (10). Konuray ve Tolun, hidroklorik asit kullanımı ile Üeksiten ($\text{NaCaB}_5\text{O}_9 \cdot 8\text{H}_2\text{O}$) borik asit üretimini incelemiştir. (12).

Yapılan bu çalışmalarla, tıkal ve hidrojen klorür gazi kullanımını öngören bir süreç için ayrıntılı bilgi bulunamamıştır.

Bu çalışmada, temel verilerin incelenmesi ve gerekli deneysel çalışmaların yapılması ile özgür bir akım şeması tasarımları yapılmıştır.

H_3BO_3 , $\text{Na}_2\text{B}_4\text{O}_7$ ve NaCl 'ün çözünürlükleri Şekil 1.'de verilmiştir.

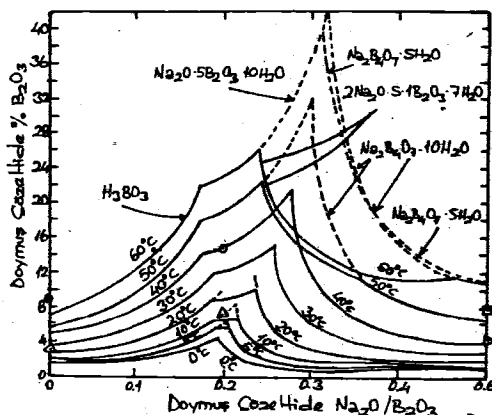
Şekil 1- H_3BO_3 , $\text{Na}_2\text{B}_4\text{O}_7$,
 NaB_5O_8 , NaCl 'in
 Çözünürlükleri.



H_3BO_3 ve $\text{Na}_2\text{B}_4\text{O}_7$ arasında, çeşitli $\text{Na}_2\text{O}/\text{B}_2\text{O}_3$ mol oranlarındaki çözeltilerde B_2O_3 çözünürlükleri Şekil 2'de verilmiştir.

H_3BO_3 çözeltilerine NaCl ilavesinin H_3BO_3 'ün çözünürlüğü üzerine etkisinin, ihmal edilebilecek kadar az olduğu görülmüştür (17). Diğer tarafından doğrudan NaCl 'li ortamda $\text{Na}_2\text{O}/\text{B}_2\text{O}_3$ nin 0.2 ve 0.5 mol oranlarında olduğu çözeltilerde B_2O_3 çözünürlüğünün azalması Şekil 2'de görülmektedir.

$\text{NaCl} - \text{Na}_2\text{B}_4\text{O}_7 - \text{H}_3\text{BO}_3 - \text{H}_2\text{O}$ sistemi süreç tasarımlı için çok önemli olmasına karşın sadece 350°C için incelenmiştir (17).

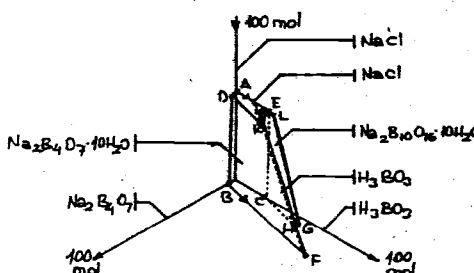


Şekil 2- Çeşitli $\text{Na}_2\text{O}/\text{B}_2\text{O}_3$ Mol Oranındaki Çözeltilerde B_2O_3 Cözünürlüğü ve Doygun NaCl 'in Etkisi.

Δ 35°C'de Doygun NaCl Çözeltisindeki B_2O_3 Çözünürlük Değeri:

o 75°C 'de Doygun NaCl Çözeltilindeki B_2O_3 Çözünürlük Değeri (17) (18)

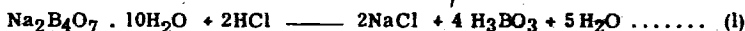
83°C'de Doğru NaCl Çözeltisindeki B_2O_3 Çözünürlük Değeri (19)



Sekil 3- NaCl - Na₂B₄O₇ - H₂BO₃ - H₂O Sistemi. (17). (TABLO 1)

Süreç tasarımda, çözeltilerin pH değerlerinin önceden bilinmesi gerekli olmaktadır. Borat anyonu içeren 0,1 molardan daha derişik çözeltilerde, poliborat anyonları olusumu dolayısı ile pH değerinin seyreltilikliye bağlı olduğu bilinmektedir. (20). Seyreltik çözeltilere NaCl ilavesinin pH değerini düşürdüğü bildirilmiştir (21) (22) (23).

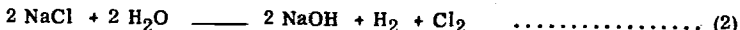
Tinkalden HCl yöntemiyle borik asit ve sodyumhidroksit üretimi süreci, iki aşamalı olarak düşünülebilir. Birinci aşamada, Tinkal ve HCl den borik asit ve sodyum klorür elde edilecektir.



İkinci aşama, NaCl 'in elektrolizi ile NaOH , H_2 ve Cl_2 nin elde edilmesidir.

TABLO I - NaCl - Na₂B₄O₇ - H₃BO₃ - H₂O - 35°C - Sistemi.

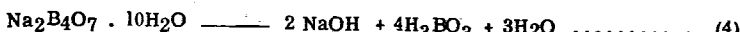
Nokta	Kati: Faz	Gram 100 gr Sud'a			Mol	1000 mol Sud'a
		NaCl	Na ₂ B ₄ O ₇	H ₃ BO ₃		
A	NaCl	36.3	-	-	36.3	55.8
B	Na ₂ B ₄ O ₇ · 10H ₂ O	-	5.3	-	5.3	4.7
C	H ₃ BO ₃	-	-	7.9	7.9	-
D	NaCl, Na ₂ B ₄ O ₇ · 10H ₂ O	35.5	2.2	-	37.7	54.6
E	NaCl, H ₃ BO ₃	36.8	-	8.2	45.0	56.6
F	Na ₂ B ₄ O ₇ · 10H ₂ O, Na ₂ B ₁₀ O ₁₆ · 10H ₂ O	-	23.6	24.7	46.3	-
G	H ₃ BO ₃ , Na ₂ B ₁₀ O ₁₆ · 10H ₂ O	-	8.4	18.4	26.8	-
H	Na ₂ B ₁₀ O ₁₆ · 10H ₂ O	-	9.9	18.3	28.2	-
I	NaCl, Na ₂ B ₁₀ O ₁₆ · 10H ₂ O	36.1	3.7	6.9	46.7	55.6
K	NaCl, Na ₂ B ₄ O ₇ · 10H ₂ O, Na ₂ B ₁₀ O ₁₆ · 10H ₂ O	34.6	10.1	10.0	54.7	53.3
L	NaCl, H ₃ BO ₃ , Na ₂ B ₁₀ O ₁₆ · 10H ₂ O	36.3	1.2	9.4	46.9	55.8
					1.0	27.4
						84.2



Elde edilen gazlardan HCl gazı üretilicektir.



Üretilen HCl yeniden tıkal ile reaksiyona girecek, böylelikle devre kapanmış olacaktır. Toplam reaksiyon, (1), (2) ve (3)in toplamı olarak verilir:



Sodyum klorürün elektrolizi ile NaOH ve HCl elde edilmesi çok uygulanmış olan bir teknolojidir. Bu bakımından tınkalden HCl ile borik asit ve sodyum klorür elde edilmesi aşaması önem kazanmaktadır. Süreç tasarımları ve deneysel çalışmalar bu konu üzerine yapılmıştır.

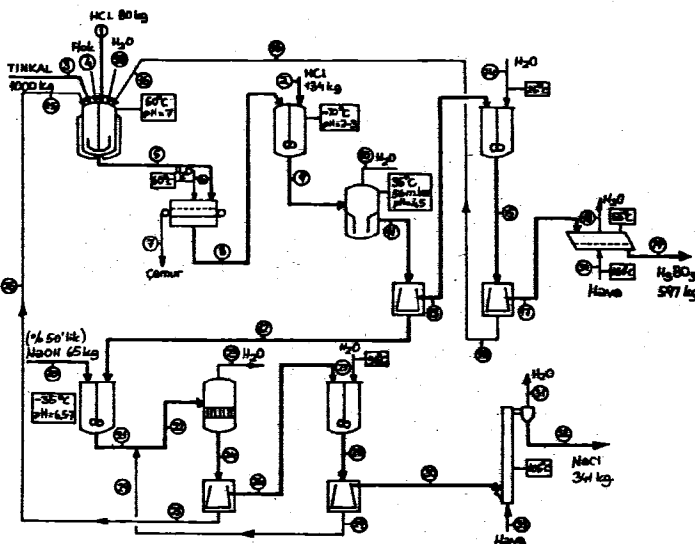
Şekil 2'nin incelenmesinde, tinkalin çözeltiye alınması sırasında en yüksek B_2O_3 çözünürlüğünün sıcakta ve Na_2O/B_2O_3 mol oranı 0.25 çözeltilerde gerçekleşeceği görülmektedir. Tinkalin ana çözeltiler ve gerekirse HCl ile kısmen nötralleştirilmesi ile bu ortama ulaşılabilecektir. Bu çözeltinin pH si 7-8 arasında olduğundan tinkalin içinde safsızlık olarak bulunan dolomitin çözünmesi önlenmiş olmaktadır. Safsızlıklar, karışımın flokülasyonu veya katkı maddeleri ilavesi ile süzülebilmektedir (24) (25). Süzüntünün HCl ile tam asitlenmesi sonucunda, borik asit ve sodyum klorür çözeltisi elde edilecektir.

Şekil 1'de, borik asidin çözünürlüğünün sıcaklıkla arttığı, sodyum klorürün çözünürlüğünün ise sıcaklıkla çok az etkilendiği görülmektedir. Bu bilgilerden, borik asidin ayrılması için çözeltinin soğutulması gerekliliği olacağı anlaşılmaktadır. Güncel teknolojide bu işlem için vakum kristalizasyonu geniş bir uygulama alanı bulmaktadır. Şekil 3'dem, NaCl'in borik asitten ayrılması için en geçerli yöntemin evaporasyon olduğu görülmektedir. Borik asit çözeltisini kısmen nötralleştirilmesi, evaporasyonun nötral ortamda yürütlmesini sağlayarak korrozyon etkisini azaltacak, aynı zamanda B_2O_3 çözünürlüğünü artırrarak ayırma işleminin etkinliğini artıracaktır.

Bu yöntemlerin uygulandığı bir akım şeması tasarımları yapılarak Sekit 4'de verilmiştir.

Akim şemasının kütle ve enerji hesaplamaları için BİRİM bilgisayar benzetim program paketi kullanılmıştır. Bu çalışmalarında doğrusal programlama teknigi uygulanarak yüksek saflikta borik asit ve sodyum klorür üretimine olanak sağlayan en uygun kütle akımları ve süreç koşulları saptanmıştır. Bu koşullar genel olarak Şekil 1'de görülmektedir. Tüm sürecin kararlı haldeki kütle ve enerji akımları uzunluğu dolayısı ile başka bir çalışmada verilmiştir (26). Kararlı haldeki sürecin en önemli kütle akımları Tablo 2'de görülmektedir.

TABLO 2 - Kararlı Halden Kutlu Akımları.



Şekil - 4 Tinkal'den HCl Gazi İle H_3BO_3 ve NaCl Üretimi Akım Şeması.

Akım şemasının yürüyüşü, deneysel olarak laboratuvar çapında incelenmiştir.

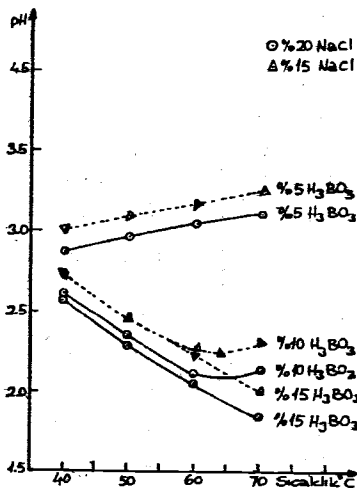
DENEYSEL ÇALIŞMALAR

Temel Veri Deneyleri :

Bu deneylerde, çeşitli kütle akımlarında rastlanan bileşimdeki çözeltilerde pH değerlerinin sıcaklıkla değişimi incelenmiştir. Deneylerde Radiometer PHM 62 marka bir pH metre ile cam/referans elektrot çifti kullanılmıştır. Bir seri deneye derişik H_3BO_3 çözeltilerine çeşitli konsantrasyonlarda NaCl ilavesi ile pH değerlerinin sıcaklık ile değişimi incelenmiştir. H_3BO_3 çözeltisi gergiği anda pH'nın sıcaklık artımı ile yükseldiği görülmektedir. Ortamındaki NaCl konsantrasyonunun artması çözeltinin pH'sının azalmasına neden olmaktadır.

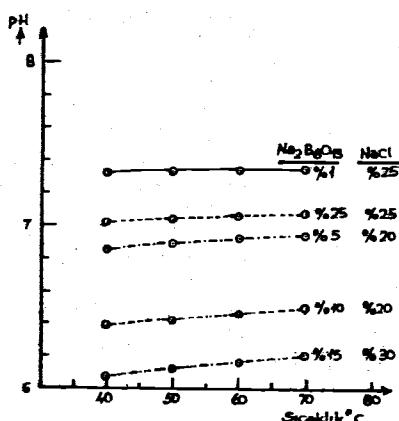
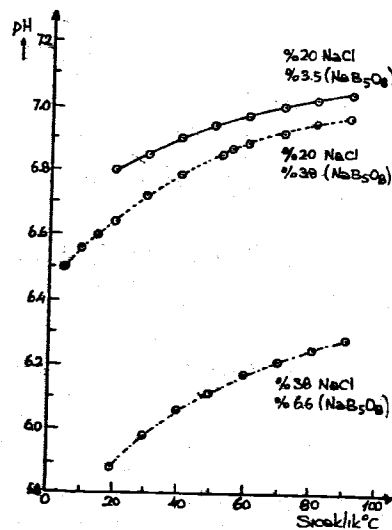
Diğer bir seri deneye Na_2O/B_2O_3 mol oranı 0.2 olan çeşitli konsantrasyonlarda H_3BO_3 - $Na_2B_4O_7$ karışımı yapılmıştır. Bu çözeltiler NaB_5O_8 (sodyum, pentaborat) çözeltilerine tekabül etmemektedir. Bu çözeltilere NaCl ilavesi ile pH/sıcaklık değişimi incelenmiştir. Ortamındaki NaCl konsantrasyonunun artması pH değerinin düşmesine neden olmaktadır.

Başka bir seri deneye Na_2O/B_2O_3 mol oranı 0.25 olan çeşitli konsantrasyonlarda H_3BO_3 - $Na_2B_4O_7$ çözeltileri hazırlanmıştır. Bu çözeltilerdeki konsantrasyon bir hesap değeri olarak $Na_2B_6O_13$ cinsinden ifade edilmiştir. Bu çözeltilere de değişik konsantrasyonlarda NaCl ilavesi yapılarak pH/sıcaklık değişimi incelenmiştir. Ortam'daki NaCl konsantrasyonunun artması pH'nın düşmesine neden olmaktadır.

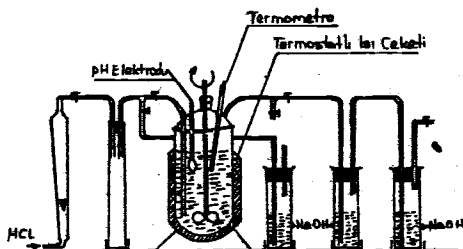


Şekil - 5 H₃BO₃ ve NaCl içeren Karışımlarda pH/sıcaklık Değişimi.

Şekil 6 - Na₂O/B₂O₃ Mol Oranı 0.2 Olan
ve NaCl içeren Çözeltilerde
pH/sıcaklık Değişimi.



Şekil - 7 Na₂O/B₂O₃ Mol Oranı 0.25 Olan
ve NaCl içeren Çözeltilerde
pH/Sıcaklık Değişimi.



Şekil - 8 Deney Düzeni.

Tinkalin Çözeltiye Alınması :

Bu deneyler, süreç uygulamasında, tinkalın çözeltiye alınması için en uygun koşulların saptanması amacı ile yapılmıştır. Deneylerde numune olarak tinkal konsantresi kullanılmıştır. Tinkal konsantresinin $\% 92 \text{ Na}_2\text{B}_4\text{O}_7 \cdot 10\text{H}_2\text{O}$ ve $\% 8'$ inin dolomit, montmorillonitik kıl ve çözülmeyen bor mineralerinden olduğu bildirilmiş ve tane büyüklüğü dağılımı verilmiştir (3). Deneylerde bir cam reaktör, gaz HCl tüpü, gaz akışının ölçüldüğü rotametre ve yıkama şışelerinden oluşan bir deney düzeni kullanılmıştır. (Şekil 8) Kullanılan reaktör, termostatlı bir ısı ceketi, devri ayarlı bir karıştırıcı, çözelti sıcaklığını ölçen bir termometre ve cam, referans pH elektrot çifti ile donatılmıştır. Deneylerde pH değerinin ölçülmesi için Orion 70 l pH metresi kullanılmıştır.

Deneylerde 200 g tinkal konsantresi ve Tablo 1'deki bileşimlere göre hazırlanan geri dönüş akımlarında çözeltiye alınmıştır. Reaksiyondan önce geri dönüş akımlarının pH'sı $60^\circ\text{C}'de 6.75 \pm 0.5$ olarak ölçülmüştür. Deney süresince gaz HCl ayarlı olarak verilerek çözelti pH'sının 7'nin altına düşmemesi sağlanmış, ve deney sonu pH si 7'de tutulmuştur. HCl gazi verilmeyen deneye ise, deney sonunda karışımın pH değeri 8 ± 0.5 (60°C) olarak gözlenmiştir.

Deney sonunda tüm karışım 200 ppm HOE CHST Boze floc A-42 floküller kullanılarak çöktürülmüş, vakum filtresinden süzülmüş, hesaplanmış olan miktarda su ile yanıkmuştur. Atık madde $105^\circ\text{C}'de$ kurutulmuş ve B_2O_3 analizi yapılmıştır.

Karıştırmanın yeterli bir düzeye ulaşmasından sonra karıştırma hızının katıdan sıvıya kütle transfer hızını etkilemediği bildirilmiştir (3). Bu deneyde karıştırma hızı, iyi bir karıştırmanın sağlandığı 500 devir/dak. da sabit tutulmuştur. Tane büyüklüğü, reaksiyon sıcaklığı, reaksiyon süresi, ortamın pH'sı parametreleri değiştirilerek deneyler yapılmış ve bu parametrelerin atık madde üzerinde kalın B_2O_3 yüzdesine etkisi incelenmiştir. Deney koşulları ve sonuçlar Tablo 3'de verilmiştir.

Tüm deneylerde yıkama şışelerinde bulunan ayarlı NaOH çözeltileri geri titre edilerek HCl'in absorbsiyonu kontrol edilmiştir. Hiç bir deneye yıkama şışelerine HCl geçmemiş olduğu görülmüştür. Bu sonuç deney koşullarından HCl'in tamamen çözeltiye geçtiğini belirtmektedir.

Tablo 3 deki sonuçların incelenmesinde, pH 7 deki reaksiyon süresinin artımı ile atıktaki B_2O_3 yüzdelerinin önemli sayılacak ölçüde etkilenmediği görülmektedir. Deney sıcaklığı artmasının ve tane büyülüğünün azalmasının endüstriyel ölçülerde büyük avantaj sağladığını anlaşılmaktadır. Çözme işleminde HCl ilavesi yapılmadığı zaman atıkta B_2O_3 yüzdesinin fazla etkilenmediği görülmektedir. Bu sonuç çok önemlidir, çünkü çözme işleminde HCl ilavesinde yerel pH düşmeleri dolayısı ile karbonatları çözme olanağı giderilmiş olacaktır. Bu konuda çalışmalar devam etmektedir.

Tablo - 3 Tinkal'in Çözeltiye Alınması Deney Sonuçları.

HCl Debisi (gr/dak)	Tane İriliği	HCl Gazi İlavesi	Sıcaklık (°C)	Deney Sonu pH'sı	Atıkta % B_2O_3	Süre (dak) (± %2)
0.798	Tuvanan (-1 mm)	Yapıldı	60	7	21.67	20
0.266	"	"	"	"	20.69	60
0.177	"	"	"	"	15.93	90
0.152	"	"	"	"	15.57	105
0.532	-65 Meç (Ø 0.2 mm)	"	"	"	28.53	30
0.798	Tuvanan	"	80	"	20.84	20
	"	Yapılmadı	60	8	24.85	90

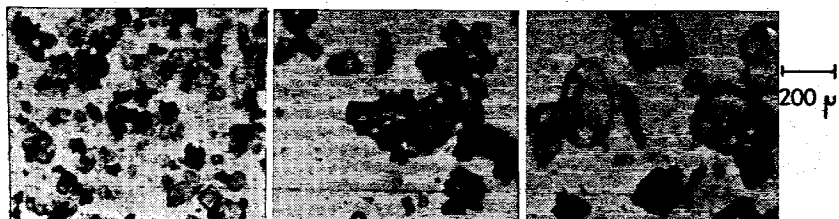
Borik Asit Üretimi :

Borik Asit üretiminin incelendiği deneyler iki gurupta toplanmıştır. Birinci gurupta, borik asidin 60° - $70^{\circ}C$ de oluşumu sırasında HCl ilavesi hızının borik asit tane büyülüğine etkisi incelenmiştir. Bu reaksiyona çöktürme kinetiği prensipleri açısından bakıldığından, reaktant HCl ilavesinin hızı, oluşan borik asit miktarını etkileyeceği anlaşılmaktadır. HCl ilavesinin yavaş yapılması ile olacak H_3BO_3 kristallerinde nüve oluşumu kontrol edilebilecek ve büyük kristaller elde edilebilecektir. Bu kristaller, karışımın soğutulması ile tamamlanacak borik asit kristalizasyonu için ası kristali görevi yapacak ve büyük taneli borik asit kristalleri oluşumu sağlanacaktır.

Borik asit oluşumu için gerekli HCl in değişik sürelerde, ilavesinin $60^{\circ}C$ de oluşan borik asit tane büyülüğine etkisinin incelenmesi için Şekil 8 deki deney düzeni kullanılmıştır. Deneyler $60^{\circ}C$ de termostat içinde yapılmış, üretilen kristaller $60^{\circ}C$ de sızılılmıştır. Kristal numuneleri LE ITZ DIAVERT mikroskopu ile incelenmiş ve fotoğrafları çekilmiştir. Elde edilen kristaller Şekil 9'da görülmektedir.

Bu şekillerde HCl ilavesi süresi arttıkça elde edilen borik asit kristallerinin büyük taneli olduğu görülmektedir.

İkinci gurup borik asit üretim deneyleri, üretimecek borik asit kristallerinin safıklarını kontrol amacıyla yapılmıştır. Bu çalışmada aynen akım şemasında borik asit kristalizasyonu ve yıkaması yapılmıştır. Elde edilen borik asit ürünlünde EPPENDORF Alev Fotometresi kullanılarak sodyum tayıni yapılmıştır. Borik asit üretiminde gerekli HCl ilavesi sonunda aynı şartlarda üç ayrı deney yapılmış ve ortamın pH'sı 2 - 3 arasında tutulmuştur. Sonuçlar Tablo.4 de verilmiştir.



Şekil 9 - HCl İlavesi İle Çeşitli Sürelerde Elde Edilen H_3BO_3 Kristalleri.
 a: 30 dak. b: 60 dak. c: 90 dak.

Tablo 4 - Üretilen H_3BO_3 Saflığı.

Deney No :	Ham H_3BO_3 de % NaCl	Yıkamış H_3BO_3 de % NaCl
1	2.28	0.26
2	2.23	0.29
3	1.74	0.13

Tablo 4'deki sonuçlardan üretilecek yıkamış borik asit saflığının tıcarf, teknik borik asit için istenen %99.5 saflığına ulaşığı görülmektedir.

NaCl Üretimi :

NaCl Üretiminde elde edilen ürünün safliğının incelenmesi amacı ile, akım şemasında öngörülen NaCl üretimi laboratuvar ölçüsünde gerçekleştirılmıştır.

Deneyselde, borik asit süzüntü NaOH kullanımı ile Na_2O/B_2O_3 mol oranını 0.2 oluncaya kadar nötralleştirilmiştir. Bu çözeltinin pH'sı 6.7 olarak ölçülmüştür. Akım şemasında öngörüldüğü gibi suyun fazlası buharlaştırılmış ve NaCl kristallendirilmiş ve yıkamıştır. Elde edilen üründe B_2O_3 tayini yapılmıştır. Sonuçlar Tablo 5'de verilmiştir.

Tablo 5 - Üretilen NaCl'ın Saflığı.

Deney No :	Ham NaCl de % B_2O_3	Yıkamış NaCl de % B_2O_3
1	0.13	0.06
2	0.49	0.11
3	1.33	0.05

Bu deneyler sonunda yüksek saflıkta NaCl üretiminin gerçekleşeceğini belirlenmiştir.

SONUÇLAR

Bu çalışmada öngörülen akım şeması uyarınca yapılan deneysel çalışmalarla, yüksek saflikta borik asit ve sodyum klorür üretiminin gerçekleştiği görülmüştür.

Süreç koşullarının incelenmesi için çalışmalar devam etmektedir. Planlanan çalışmalar arasında borik asit ve tuz için gerekli olan en uygun çöktürme ve kristalizasyon kriterlerinin bulunması, elde edilecek sonuçların işığında pilot tesis çalışmalarına geçilmesidir.

Bu çalışmada öngörülen üretim süreci uygulamaya konulması halinde ülkemize çok yönlü ekonomik kazanç sağlanacaktır. Borik asit üretimi için ülkemizde yetersiz olan sülfürük asit kullanımını önlenecek ve sülfürük asit dışalımı için gerekli dövizden tasarruf edilecektir. Sodyum hidroksit üretimi ile, hale hılda 20 000 000 \$ olan dış alımı için gerekli dövizden tasarruf edilecektir. Üretimek borik asitin dış satımından önemli döviz kazancı elde edilecektir. Ekonomimize büyük katkısı olacağı belirlenen bu sürecin uygulamaya konulmasında yarar görülmektedir.

KAYNAKLAR

- 1) DPT: IV. Beş Yıllık Kalkınma Planı. Ö.i.K. Raporu, DPT. 1566-ÖİK 254, 1977.
- 2) Ferguson A., Treskon D.J., Davenport R.E., CEH Marketing Research Report on Boron Minerals and Chemicals, Chemical Economics Handbook, Stanford Research Institute, 717.1000 A, 1977.
- 3) Emir B., Tolun R., Tinkal Konsantresinden Borik Asit ve Sodyum Sülfat Üretimi, M.A.E. Kimya Ünitesi, 1979.
- 4) Kalafatoglu E., Yalaz N., Sayın I., Balkan A., Akoğlu K., Tolun R., Tinkal Konsantresinden Sodyum Nitrat ve Borik Asit Üretimi, M.A.E. Kimya Ünitesi, 1979.
- 5) Kocakuşak S., Kalafatoglu E., Tolun R., Tinkal Mineralinden Hidrojen Klorür Kullanılarak Borik Asit ve Sudostik Üretimi, Sudostik Tesisi Ön Fizibilite Çalışması, M.A.E. Kimya Ünitesi, 1979.
- 6) Longobardi E. and Camus N., "Anales Soc. Quim. Arjentina" New York, 1957.
- 7) Frank H. May and Vladimir V. Levasheff, United States Patent Office. 2, 855, 276 Oct. 7, 1958.
- 8) Alfred Newman, United States Patent Office; 1, 888, 391 Nov. 22, 1932.
- 9) Proce'de de fabrication de l' acide borique, Brevet Dinvention, No 1.233.091 C 01 b.
- 10) Tolun R., Göksu M., Okay G., TÜBİTAK Mühendislik Araştırma Grubu. Proje No. 323, 1974
- 11) Mc Ketta J.J., Encyclopedia of Chemical Processing and Design, Marcel Dekker, Inc., Volume 5, 57-69, 1977.
- 12) Konuray M., Tolun R., Ülekeit Mineralinden Hidroklorik Asit Kullanılarak Borik Asit Üretimi, MAE Kimya Ünitesi, 1975.
- 13) Blasdale, W.C. and Slansky, C.M: J.Am Chem. Soc, 61: 917-20, 1939.

- 14) Ullmanns : Encyklopädie der Technischen Chemie, Band 8, 665, 1974.
- 15) Seidell A., Linke W.F., Solubilities, Inorganic and Metal-Organic Compounds., 1965.
- 16) Adams R.M : Boron, Metallo- Boron Compounds and Boranes, John Wiley and Sons, Inc. 82, 1964.
- 17) Teeple. J.E : "The Industrial Development of Seaford Lake Brines", The Chem. Catalogue Co., New York, N.Y., 164, 1929.
- 18) Peng Chung-Ming, Bull. Soc. Chim. France (5), 2 985-93, 1935.
- 19) Van't Hoff J.H., and Blasdale, Ber. Berl. Akad. 1088, 1905.
- 20) Adams R.M., Boron, Metallo-Boran Compounds and Boranes, John Wiley and Sons, Inc. 85, 1964.
- 21) Owen B.B and King J.E, J. Am Chem. Soc. 65 : 1612, 1943.
- 22) Manov et al., J. Res. National Bur. Std. 33 : 287, 1944.
- 23) Manov et al, J. Res National Bur Std. 36: 543, 1946.
- 24) Emir B., Tolun R., Tinkal Konsantresi Çözünmeyelerinin Nötral Ortamda Çöktürülmesi ve Süzülmesi, TÜBİTAK - MAE Kimya Bölümü, VII Bilim Kongresi, 1980.
- 25) Konuray M., Tinkal Çözeltisinin Süzülmesi ve Perlit Katkısının Etkisi "TÜBİTAK - MAE Kimya Bölümü - 1976".
- 26) Yalaz N., Kocakuşak S., Kalafatoglu E., Emir B. Kimyasal Süreçlerde Kütle ve Enerji Dengesinin Arduşik Yaklaşımalarla Benzetimi, TÜBİTAK VII. Bilim Kongresi, 1980 İzmir.